

Sıvı Kapanımlarının İki Farklı Yöntemle Kimyasal Analizleri

Chemical analysis of the fluid inclusions by two different methods.

REZAN BİRSOY D.E.Ü.M.M. Fakültesi, Jeoloji Mühendisliği Bölümü, İzmir

ÖZ : Fluoritteki sıvı kapanımlarının kimyasal analizi ilk önce dondurma deneyi ile birlikte kapanımdaki sıvinin yıkanması yöntemiyle saptanmıştır. Daha sonra aynı örneklerde, kapanımdaki sıvinin bileşiminin analizi taramalı elektron mikroskopla yapılmıştır. Her iki yöntem, NaCl ve KCl'ün temel bileşenler olduğunu göstermiştir. Ayrıca ikinci yöntemin, birinci yönteme göre çok hızlı ve sağlıklı olmasına karşın daha pahalı olduğu anlaşılmıştır.

ABSTRACT : Chemical analysis of fluid inclusions of the fluorite were first obtained by leaching the fluid inclusion to the solution along with freezing experiments. Then, by using the same samples, chemical composition of the fluid inclusion was done by scanning electron microscopy technique. Both methods showed that NaCl and KCl are the main components of the inclusions. Furthermore, even though second method is faster and more reliable than the first one, it was understood that is more expensive.

GİRİŞ

Sıvı kapanımlar, içerisinde bulundukları mineralerin jeolojik ortamları ile doğrudan ilişkili olduklarıdan, bir çok araştırmalara konu olmuş ve bir çok jeolojik sorunun çözülmesine yardımcı olmuştur ve olmaktadır. Minerallerdeki sıvı kapanımları ile ilgili araştırmalar, başlangıçta kapanımın homojenleşme sıcaklığını ölçerek başlamış ve mineralin oluşum sıcaklığını saptamada kullanılmıştır (Roedder, 1962). Sıvı kapanımların bu şekilde bir jeotermometre olarak kullanılımı bir çok araştırmaya ışık tutmuştur (Bailey, ve Cameron 1961; Rife, 1971).

Sıvı kapanımdaki sıvinin bileşiminin ne olduğunu bilmek, cluşum sıcaklığının yanısıra diğer termodinamik verileri hesaplamada kullanılabileceğinden, daha sonraları sıvinin kalitatif analizleri yapılmaya başlanmıştır (Roedder, 1958). Kapanımdaki sıvinin donma sıcaklığının ölçülmesi ve buna bağlı olarak tuzluluğun hesaplanabilmesi, sıvinin kantitatif bileşiminin hesaplanmasına olanak sağlamıştır (Roedder, 1963; Roedder ve diğerleri, 1963; Roedder, 1972). Sıvinin hem oluşum sıcaklığının, hemde bileşiminin bilinmesiyle kökenle ilgili çeşitli sorunlar kolayca açıklanabilmiştir (Nash ve Theodore, 1971; Roedder 1971). Sıvinin yarı kalitatif analizi, analiz edilecek elementin cinsine göre kolorimetrik yöntemle, alev fotometresiyle ve atomik absorpsiyon spektrometresiyle yapılmıştır (Hall ve Freedmann, 1963; Sawkins, 1968; Almandinger, 1975). Sıvı kapanımdaki sıvinin bileşiminin sağlıklı olarak bilinmesi ve analiz sonuçlarının çok çabuk elde edilmesi, köken ilişkilerini yorumlamada da daha güvenilir sonuçlara götürdüğü gibi, araştırma sürecini kısaltır.

Bu çalışmada üç fluorit örneğinin içerdığı sıvı kapanımları yukarıda kısaca söz edilen yöntemle analiz edilmişlerdir. Ayrıca aynı örneklerdeki sıvı kapanımları taramalı elektron mikroskoplada (SEM) kalitatif olarak analiz edilmişlerdir. Daha sonra her iki yöntemin kıyaslaması yapılmıştır.

MATERIAL ve DENEYSEL YÖNTEMLER

Çalışmada kullanılan örnekler New Mexico (ABD) dan Gonzales (Yeşil renkte 15 örnek) ve Bingham (Yeşil renkte 12 ve mavi renkte 13 örnek) fluorit yataklarından derlenmiştir. Bu örneklerdeki birincil tip teki sıvı kapanımlarının homojenleşme sıcaklıkları ve donma sıcaklıkları Ohmoto ve Rye (1970) tarafından tanımlanan yolla uyarlanmış aygıtta ölçülmüştür. Sıvı kapanımlarının çözeltiye geçirilişi yine Ohmoto ve Rye (1970) tarafından tanımlanan yolla yapılmıştır. Çözeltinin kimyasal analizi ise Perkin Elmer 403 Model atomik absorpsiyon spektrofotometresi ile yapılmıştır.

Aynı örnekler sıvı kapanımını yıkamak için 0.1 N HCl asit çözeltisi içerisinde yaklaşık $1 \times 0.5 \times 0.5$ cm³ boyutunda parçalanmıştır. Böylece patlayan sıvı kapanımlar doğrudan çözeltiye geçmişlerdir. Yine aynı boyuta getirilmek için sıvı kapanımları patlatıldığında, atmosfer basıncına çıkan bütün sıvı anında katılaşarak fluoritin yüzeyinde yer almıştır. Bu katılar gaz fazı dışındaki bütün elementleri içerdiklerinden daha sonra Ortec-non dispersive X-ışın analizatörü bağlanmış HHS-2R Hitachi Taramalı elektron mikroskopuya kalitatif kimyasal analizleri yapılmıştır.

BULGULAR ve TARTIŞMA

Gonzales (yeşil) ve Bingham'dan (Yeşil ve mavi) (New Mexico) alınan örnekler, Pensilvaniyen kireçtaşları ile faylı dokanlığı bulunan Prekambriyen yaşı granitler ile ilişkilidir. Fluorit yatakları Gonzales'te Prekambriyen granitleri içerisinde çamur dolguları olarak, Bingham'da ise kireçtaşları içerisinde açık dolgular halinde bulunmaktadır. Her iki bölgedeki fluorite barit galen, sfalerit, kalsit ve kuvars eşlik etmektedir. Mineralizasyona hidrotermal gelimlerin yanı sıra Orta Tersiyer yaşı dayak ve siller ısı bakımından, yeraltı suyu akımında yan kayaçtan madde taşıyarak katkıda bulunmuşlardır. Bu nedenle kurşun isotoplarının ve yan kayaçların kimyasal analizleriyle yatağı oluşturan çözeltinin sedimanter-hidrotermal kökenli olduğu saptanmıştır (Almandinger, 1975).

Her üç örnekte, sıvı kapanımlarının homojenleşme ve donma sıcaklıklarını ölçüldükten sonra (Her bir örnek için ortalama 15 ölçüm yapılmıştır) örnekler-

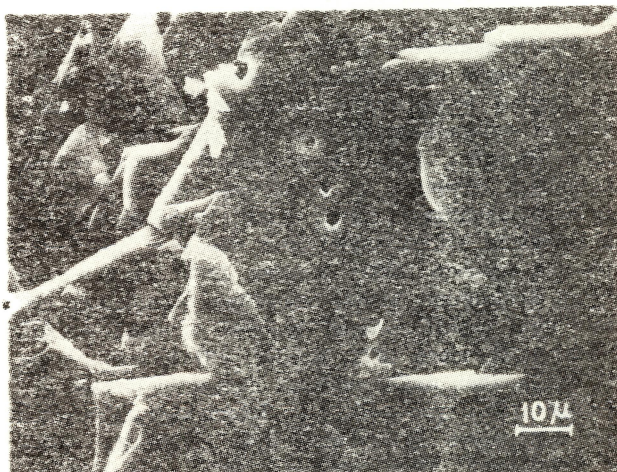
deki sıvının molal NaCl eşdeğeri yani tuzluluğu hesaplanmıştır. Sıvı kapanımdaki sıvının yarı kantitatif analizi ise Roedder (1972) ve Roedder ve diğerleri (1963) de tanımlanan yöntemle atomik absorpsiyon spektrometresi ile yapılmıştır. Molal NaCl eşdeğeri ve atomik absorpsiyondan elde edilen yarı kantitatif değerler birlikte kullanılarak tam kantitatif sonuçlar elde edilmiştir. Bütün bu ölçümlerle ilgili sonuçlar çizelge 1'de verilmiştir. Ancak kapanımdaki sıvının yıkanması ve bunların tam kantitatif duruma getirilmeleri oldukça uzun bir işlevi gerektirmektedir. Çizelge 1'deki veriler, özellikle Bingham'dan aynı damardan alınan yeşil ve mavi renkli örnekler farklı homojenleşme sıcaklığı ve farklı bileşimler göstererek fluoritlerin çözelti gelimleriyle ilgili olarak ard arda bir kaç aşamada gerçekleştiğine işaret etmektedir. Gerçekte Bingham'da fluoritin en az iki üç aşamada sonuçlanlığı kurşun izotoplari ile de gösterilmiştir (Almandinger, 1975). Aynı renkte olmak, benzer donma ve homojenleşme sıcaklığına neden olamayacağını da göstermektedir.

Örnek Adı ve Sayısı	Ortalama Homojenleşme Sıcaklığı	Ortalama Donma Sıcaklığı	Molal NaCl Eşdeğeri	Bileşim (Molal)						Bileşim (ppm)					
				Na	K	Ba	Pb	Zn	Na	K	Ba	Pb	Zn		
Gonzales yeşil (15)	189°C	-11	2,95	2,433	0,517	0,020	0,005	0,003	52993	19802	2832	1097	222		
Bingham yeşil (12)	197°C	-14	3,76	2,958	0,812	0,029	0,016	0,005	63498	30772	3967	3304	326		
Bingham mavi (13)	191°C	-12	3,23	2,635	0,595	0,016	0,014	0,002	57141	22735	2192	2892	130		

Çizelge 1 : Fluoritlerdeki sıvı kapanımlarının homojenleşme ve donma sıcaklıklarını le kimyasal analizleri.
Table 1 : Homogenization and freezing temperatures of fluid inclusions of fluorites along with chemical analyses.

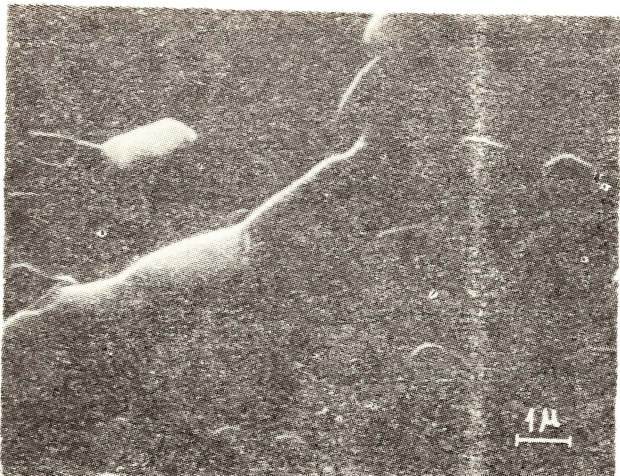
Aynı fluorit örneklerinden yeşil Gonzales fluoriti ilk önce 0,1 N HCl çözeltisi içerisinde parçalanarak yaklaşık $1 \times 0,5 \times 0,5$ cm³ boyutunda taramalı elektron mikroskop için hazırlanmıştır. Bu yolla sıvı kapanımdaki akışkan katılaşmadan çözeltiye geçerek yıkanmıştır. Bu örnek SEM'ta incelendiğinde Şekil 1'de görüldüğü gibi negatif kristalleri belirli olan içi boş ve gevrcisi temiz boşluklar olarak kalmışlardır. Aynı örnektenden alınan başka bir parça havada parçalanarak mikroskop için hazırladığında, parçalanan kapanımlardan çıkan akışkanlar kapanımın hemen yanında kristalin yüzeyinde katılmışlardır. Bu nedenle bu örnek SEM'ta incelendiğinde Şekil 2'deki gibi boşluklar ve onlara bağlı yüzeyde katılar gözlenmiştir. Bu katılar üzerinde yapılan X-ışın taraması sonucunda Na, K ve CL dan oluşan piklerini vermiştir (Şekil 3). Tarama daha uzun süre yapıldığında düşük konsantrasyonlu olan Ba elementide gözlenebilmistiştir (Şekil 4).

Mavi Bingham fluoriti de aynı şekilde havada parçalanarak mikroskop için hazırlandığında akışkanın



Şekil 1 : Yeşil Gonzales fluoritindeki negatif kristal yapısı, 1000 X.

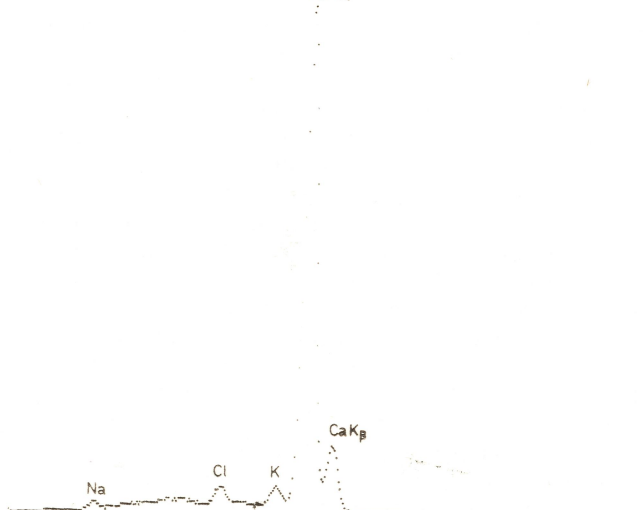
Figure 1 : Negative crystal structure of the green Gonzales fluorite, 1000 X.



Şekil 2 : Yeşil Gonzales fluoritinde yüzeyde katılaşmış sıvı kapanının yapısı, 10000 X.

Figure 2 : Solidified fluid inclusion structure on the surface of green Gonzales fluorite, 10000 X.

CaK_α

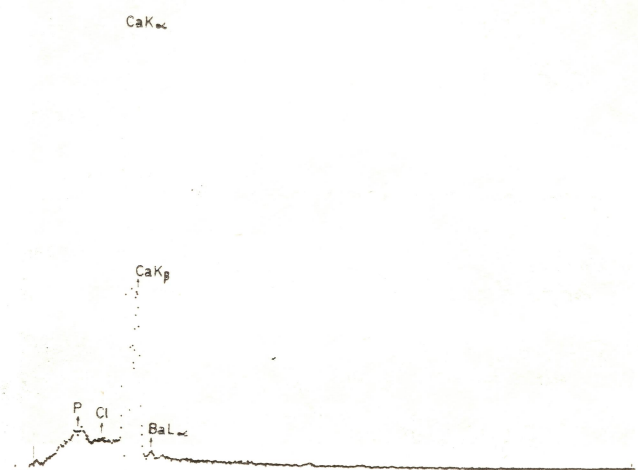


Şekil 3 : Yeşil Gonzales fluoritinin yüzeyinde katılaşmış sıvı kapanının non-dispersif x-ışın taraması (25 kV).

Figure 3 : Non-dispersive x-ray scan of solidified fluid inclusion on the surface of green Gonzales fluorite (25 kV).

katılaşmış durumu gözlenmiştir (Şekil 5 ve Şekil 6). Şekil 6 görüntüsü verilmiş olan katılaşmış sıvı kapanının malzemesi üzerinde yapılan kısa bir X-ışın taraması, (2-3 dak) Şekil 7'de görüldüğü gibi yine Na, K ve Cl pikleri vermiştir.

Sulu-gözelti kökenli kapanımlarda NaCl ve KCl ün temel bileşenler olması beklenen bir sonuçtur. Tarama süresi uzun tutulursa diğer elementlerde saptanabilir. Elde edilen sonuçlar kantitatif olarak istendiğinde standart kullanılarak elde etmek olasıdır. Standart kullanımı işleyin süresini uzatabaktır, fakat bu süre kla-



Şekil 4 : Yeşil Gonzales fluoritinin yüzeyinde katılaşmış sıvı kapanının (Şekil 3 deki aynı örnek ve kapanım) uzun süre x-ışın taraması, Ba de gözlenebiliyor (25 kV).

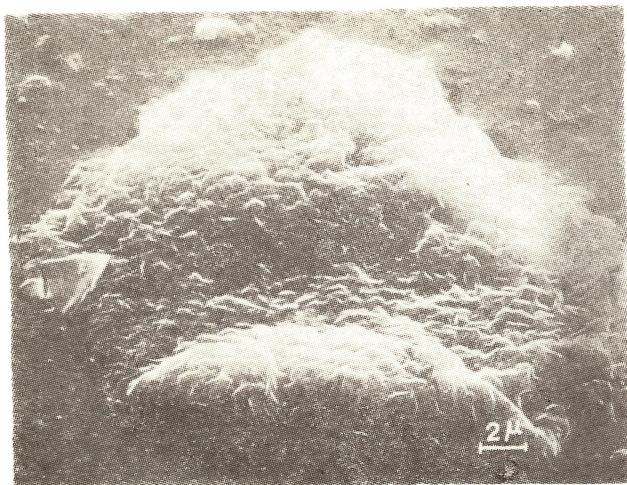
Figure 4 : The longer time x-ray scan of solidified fluid inclusion on the surface of green Gonzales fluorite (the same sample and the same inclusion of Fig. 3) Ba also is detectable (25 kV).



Şekil 5 : Mavi Bingham fluoritinde yüzeyde katılaşmış sıvı kapanının yapısı, 2000 x.

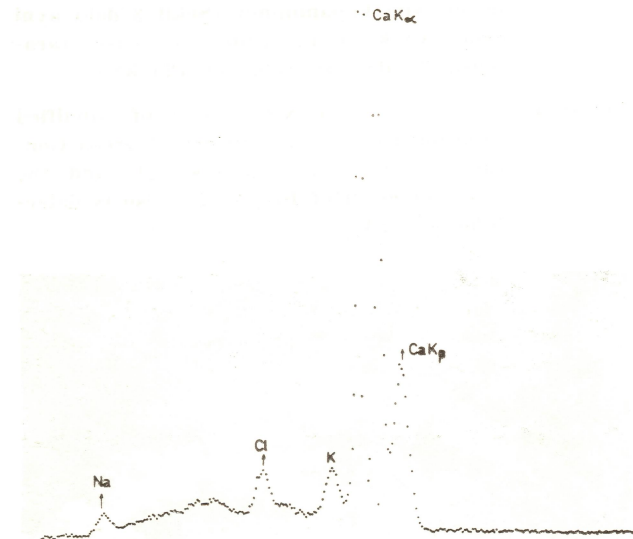
Figure 5 : Solidified fluid inclusion structure on the surface of blue Bingham fluorite, 2000 x.

sık yöntemle yapılan analizlerle kıyaslandığında en az 1/4 kadar daha kısaltır. İşleyin aşamaları az olması nedeniyle sonuca eklenecek hata yüzdesi de doğal olarak az olacaktır. Özellikle metamorfik magmatik kayaçlardaki bazı minerallerdeki çok küçük çapta olan kapanımların kimyasal analizleri için, SEM'in sunduğu büyütme oranı nedeniyle daha uygun bir yol gibi gözükmemektedir. Ancak bu yörtem klasik yönteme göre daha pahalı bir yöntemdir. Bütün bunla-



Sekil 6 : Sekil 5 in büyütülmüş görüntüsü, 4500 x.

Figure 6 : Magnified image of figure 5, 4500 x.



Sekil 7 : Mavi Bingham fluoritinin yüzeyinde katılmış sıvı kapanımının non-dispersif x-ray taraması (25 kV).

Figure 7 : Non-dispersive x-ray scan of solidified fluid inclusion on the surface of blue Bingham fluorite (25 kV).

ra karşı kolay, incelikli ve az zaman olan bir yöntem olduğundan az sayıdaki küçük çaplı kapanımlar için ideal olarak önerilebilir.

SONUÇLAR

Sıvı kapanımlarının scanning elektron mikroskopla yapılan kimyasal analizleri, aynı örneklerin donma sıcaklığı ölçümlü ile paralel olarak yapılan ve beraberce değerlendirilen yıkama yöntemi analizine göre çok daha kısa zamanda sonuçlanmaktadır. SEM

yapılan analizlerin sağlıklı olması ve kısa zamanda sonuçlanması yanı sıra, özellikle küçük boyutlu ve enerjiğik kökenli kapanımlarda daha kullanışlı olabilir. Sulu-çözelti kökenli olan minerallerdeki sıvı kapanımlarının, her iki yöntemle yapılan analiz sonuçları, NaCl ve KCl'in bu tür kapanımlarda temel bileşenler olduğu bir kez daha göstermiştir.

Aynı renkte olan örneklerde ait sıvı kapanımlar benzer donma, ve homojenleşme sıcaklığı ile benzer bileşim sunmamışlardır.

DEĞİNİLEN BELGELER

- Almandinger, R.J., 1975, A model for ore-genesis in the Hansonburg Mining District, New Mexico Institute of Mining and Technology, Socorro, N.M., Ph.D. Tezi (Yayınlanmadı) 190 s.
- Bailey, S.W., ve Cameron, E.N., 1961, Temperatures of mineral formation in bottom-run lead-zinc deposits of the Upper Mississippi Valley as indicated by liquid inclusions. Econ. Geol. 46, 626-651.
- Hall, W.E. ve Friedman, I., 1963, Composition of fluid inclusions, Cave-in-Rock fluorite district, Illinois, and Upper Mississippi Valley lead-zinc district. Econ. Geol. 58, 886-911.
- Nash, J.T. ve Theodore, T.G., 1971, Ore fluids in the Porphyry Copper Deposit at Copper Canyon, Nevada: Econ. Geol., 66, 385-400.
- Rife, D.L., 1971, Barite fluid inclusion geothermometry, Cartesville Mining District, Northwest Georgia: Econ. Geol. 66, 1164-1167.
- Roedder, E., 1958, Technique for the extraction and partial chemical analysis of filled fluid inclusions from minerals: Econ. Geol. 53, 235-269.
- Roedder, E., 1962, Ancient fluids in crystals: Scientific American off print No 854 W.H. Freeman and Company, 11 s.
- Roedder, E., 1963, Studies of fluid inclusions III. Freezing data and their interpretations: Econ. Geol., 58, 167-211.
- Roedder, E., Ingram B., ve Hall, W.E., 1963, Studies of fluid inclusions IV. Extraction and quantitative analysis of inclusions in the milligram range: Econ. Geol., 58, 353-374.
- Roedder, E., 1971, Fluid inclusion evidence on the environment of formation of mineral deposits of Southern Appalachian Valley: Econ. Geol., 66, 777-791.
- Roedder, E., 1972, Compostion of fluid inclusions: U.S.G.S. Prof. Paper 440-J.J., 164 s.
- Ohmoto, H. ve Rye, R.D., 1970, The Bluebell Mine, British Columbia. I. Mineralogy paragenesis, fluid inclusions and isotopes of hydrogen, oxygen and carbon: Econ. Geol. 65, 417-437.
- Sawkins, F.J., 1968, Significance of Na/K and Cl/SO₄ ratios in fluid inclusions and subsurface waters, with respect to the genesis of Mississippi Valley-type ore deposits: Econ. Geol., 63, 935-942.